



طراحی 4-bit ALU

محمد حواد باور صاد

استاد: دکتر سید وحید میر مقتدایی

نیمسال دوم سال تحصیلی ۹۵-۹۶

انتشار اینترنتی : تیر ماه ۹۶

بِسْمِ اللَّهِ الرَّحْمَنِ الرَّحِيمِ

فهرست

| | |
|---------|--------------------------------|
| ۱..... | چکیده |
| ۱..... | مقدمه |
| ۲..... | طراحی |
| ۴..... | دستور شماره صفر (A) |
| ۴..... | دستور شماره یک (A+1) |
| ۴..... | دستور شماره دو (A+B) |
| ۵..... | دستور شماره سه (A-B) |
| ۵..... | دستور شماره چهار (\bar{A}) |
| ۵..... | دستور شماره پنج (A.B) |
| ۵..... | دستور شماره شش (A \vee B) |
| ۵..... | دستور شماره هفت (A XOR B) |
| ۶..... | تفاوت |
| ۹..... | رسم شماتیک |
| ۱۱..... | مدار فلیپ فلاپ |
| ۱۲..... | مدار مالتی پلکسر |
| ۱۴..... | مدار جمع کننده |
| ۱۶..... | مدار ALU |
| ۱۹..... | رسم Layout |
| ۲۲..... | مشخصات و اندازه ها |
| ۲۲..... | شبیه سازی |
| ۲۴..... | Post Layout |
| ۲۶..... | حد اکثر فرکانس |

چکیده

واحد محاسبه و منطق (Arithmetic & Logic Unit) به اختصار (ALU)، مداری دیجیتالی است که عملیات حساب و منطق را انجام می‌دهد و یک قطعه اساسی از واحد پردازش مرکزی در کامپیوتر است. در این پروژه شماتیک و Layout یک ALU ساده که هشت عمل دیجیتالی مختلف را بر روی دو عدد چهار بیتی A و B انجام می‌دهد، طراحی شد و مورد آزمایش قرار گرفت. مدار طوری طراحی شده است که به صورت سنکرون و PipeLine عمل کند و در هر پالس ساعت یک داده‌ی خروجی داشته باشیم. حداکثر فرکانس کاری این ALU در بدترین حالت ممکن 515 MHz به دست آمد و Layout این مدار مساحتی حدود 0.11 mm^2 اشغال کرد.

مقدمه

در طول سال‌های گذشته معمولاً کاهش ابعاد مدارهای الکترونیکی و افزایش توان قابل حمل آن‌ها یکی از اهداف مهندسين الکترونیک بوده است. چنین آرمانی همواره عامل رشد سیستم‌هایی با تجمع بسیار زیاد یا به اختصار VLSI (Very Large Scale Integration) جهت پردازش سیگنال‌های دیجیتال خصوصاً در زمینه‌هایی که سرعت بالا از مهم‌ترین عوامل می‌باشد، بوده است. در این راستا ترانزیستورهای تولید شده از اتصال فلز-اکسید-نیمه هادی MOS (Metal Oxide Semiconductor) از اهمیت به خصوصی برخوردار هستند. دو نوع ترانزیستور بسیار معروف NMOS و PMOS به صورت مجتمع در قالب کلی CMOS شناخته می‌شوند که در طراحی ICها کاربرد بسیاری دارند. تعداد بسیار زیادی از ترانزیستورها در یک مدار به صورت همزمان و در مساحت بسیار کم ساخته می‌شوند که برای انجام عمل دیجیتالی مشخصی طراحی شده‌اند. یکی از مداراتی که معمولاً جزئی از یک مدار بزرگ‌تر است و به صورت VLSI تولید می‌شود، ALU است. واحد محاسبه و منطق (Arithmetic & Logic Unit) به اختصار (ALU)، مداری دیجیتالی است که عملیات حساب و منطق را انجام می‌دهد و یک قطعه اساسی از واحد پردازش مرکزی در کامپیوتر است. و حتی ساده‌ترین میکروپردازنده‌ها نیز دارای یک واحد محاسبه و منطق برای کارهایی از قبیل نگهداری زمان هستند. پردازنده‌های موجود در پردازشگرهای (CPU) مدرن و پردازنده‌های گرافیکی (GPU) دارای واحد محاسبه و منطق قدرتمند و در عین حال پیچیده‌ای هستند. ممکن است هر قطعه دارای بیش از یک واحد محاسبه و منطق باشد. جان فون نویمان ریاضی دان قرن بیستم مفهوم ALU را در سال 1945، هنگامی که در حال نوشتن گزارش برای کامپیوتر جدید خود به نام EDVAC بود، مطرح کرد. در این پروژه شماتیک و Layout یک ALU ساده که هشت عمل دیجیتالی مختلف را بر روی دو عدد چهار بیتی A و B انجام می‌دهد، طراحی شد و مورد آزمایش قرار گرفت.

طراحی

ALU مورد نظر ما باید بتواند هشت دستور زیر را انجام دهد:

A (۱)

A+۱ (۲)

A+B (۳)

A-B (۴)

\bar{A} (۵)

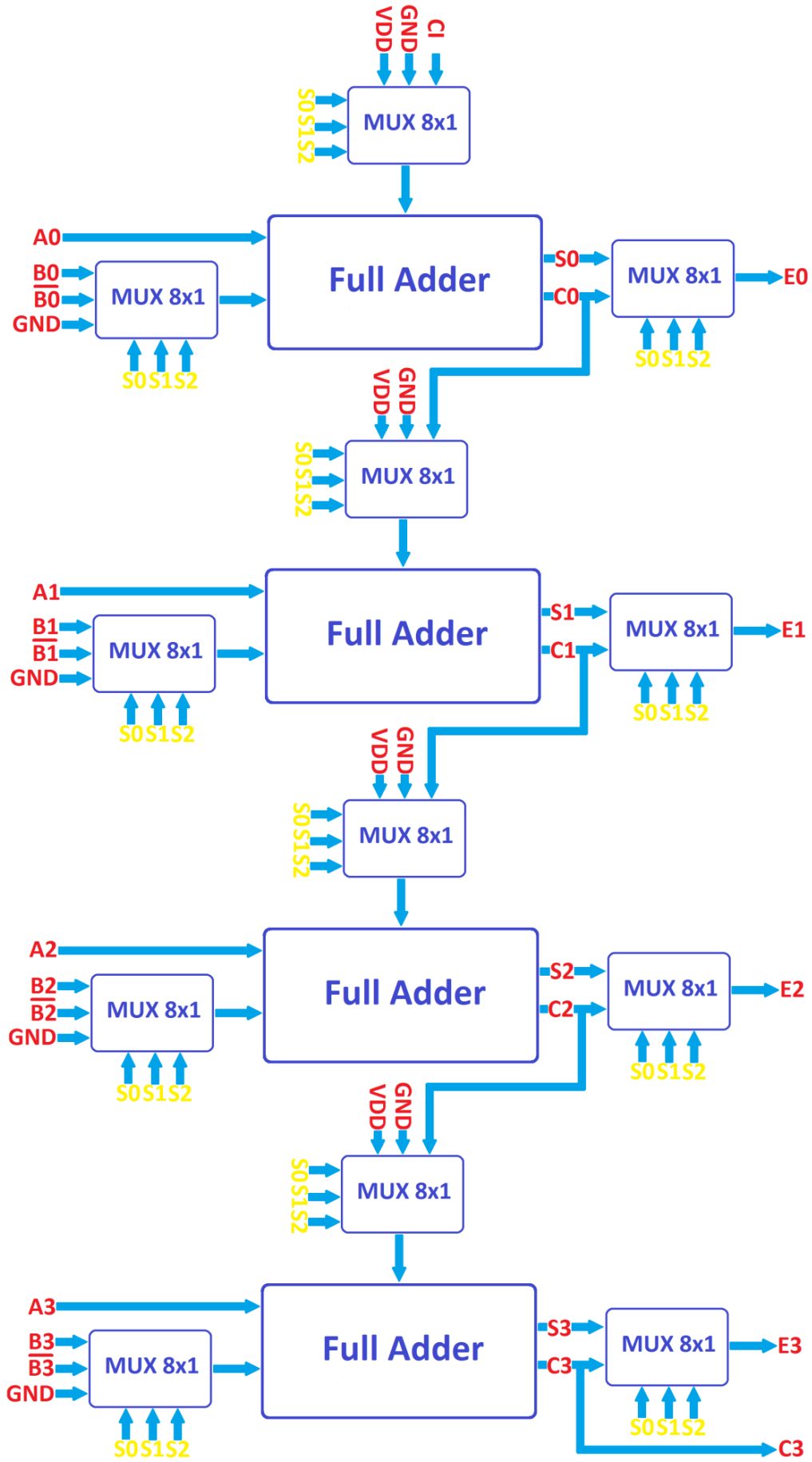
A.B (۶)

A \vee B (۷)

A XOR B (۸)

مدار ALU بسته به مقدار دستور وارد شده به آن باید یکی از دستورات بالا را انجام دهد. هر کدام از اعداد A و B در این طرح، ۴بیتی هستند اما مدار به سادگی قابلیت ارتقا به تعداد بیشتری بیت را دارد. در صورت افزایش تعداد ارقام اعداد A و B، تاخیر تبدیل به مسئله‌ای مهم می‌شود زیرا هر جمع کننده نیاز به کری جمع کننده قبلی دارد و تا بلوک قبل محاسباتش را تمام نکند، محاسبات بلوک بعدی اعتباری ندارد. طرح پیشنهادی برای ساخت این ALU به این صورت است که ورودی‌ها (غیر از خود عدد A) ابتدا به یک مالتی پلکسر وارد شوند سپس مقدار دستور، مشخص می‌کند که کدام ورودی‌ها به جمع کننده وارد شوند و در واقع مشخص می‌کند که کدام عمل انجام شود. سه مالتی پلکسر برای تعیین ورودی B، CI و خروجی (S یا CO) در نظر گرفته شده است. بنابراین این چون تعداد دستورات هشت عدد می‌باشد، ما به مالتی پلکسرهای هشت به یک نیاز داریم. به هر دستور بالا یک کد دودویی سه بیتی از صفر تا هفت به همان ترتیب بالا اختصاص داده شد که در جدول زیر آمده‌اند:

| دستور | کد دستور به ده دهی | کد دستور به دودویی (S0 S1 S2) |
|------------|--------------------|-------------------------------|
| A | ۰ | ۰۰۰ |
| A+1 | ۱ | ۰۰۱ |
| A+B | ۲ | ۰۱۰ |
| A-B | ۳ | ۰۱۱ |
| \bar{A} | ۴ | ۱۰۰ |
| A.B | ۵ | ۱۰۱ |
| A \vee B | ۶ | ۱۱۰ |
| A XOR B | ۷ | ۱۱۱ |



شکل (۱) بلوک دیاگرام طرح اولیهی ALU

ورودی‌های انتخاب هر مالتی‌پلکسر سه بیت به صورت $S_0 S_1 S_2$ می‌باشند. ورودی‌های داده‌ی مالتی‌پلکسرها از D_0 تا D_7 طوری مقدار دهی می‌شوند که بسته به این که ورودی انتخاب مالتی‌پلکسرها که تعیین کننده نوع دستور می‌باشد چه مقداری باشد، عمل متناظر با آن دستور را اجرا کند. طرح اولیه‌ی این مدار به صورت بلوک-دیاگرام در شکل (۱) آمده است.

برای تعیین ورودی‌های مالتی‌پلکسرها بهتر است جدول درستی جمع کننده را رسم و با توجه به آن ورودی مالتی‌پلکسرها را مشخص کنیم. جدول درستی جمع کننده و تعدادی از دستوراتی که به راحتی نمی‌توان ورودی‌های مرتبط با آن‌ها را مشخص کرد در جدول زیر آمده است.

| ورودی‌ها | | | خروجی | | خروجی مورد انتظار برخی دستورات | | | |
|----------|---|----|-------|----|--------------------------------|-----|------------|--------------|
| A | B | CI | S | CO | \bar{A} | A.B | $A \vee B$ | $A \oplus B$ |
| 0 | 0 | 0 | 0 | 0 | 1 | 0 | 0 | 0 |
| 0 | 0 | 1 | 1 | 0 | 1 | 0 | 0 | 0 |
| 0 | 1 | 0 | 1 | 0 | 1 | 0 | 1 | 1 |
| 0 | 1 | 1 | 0 | 1 | 1 | 0 | 1 | 1 |
| 1 | 0 | 0 | 1 | 0 | 0 | 0 | 1 | 1 |
| 1 | 0 | 1 | 0 | 1 | 0 | 0 | 1 | 1 |
| 1 | 1 | 0 | 0 | 1 | 0 | 1 | 1 | 0 |
| 1 | 1 | 1 | 1 | 1 | 0 | 1 | 1 | 0 |

(۱) دستور شماره صفر (A)

در حالتی که $S_0 S_1 S_2$ برابر 000 باشد، باید خود عدد A به خروجی برود برای این کار کافی است ورودی D_0 مالتی‌پلکسر اول و دوم، صفر (زمین) و خروجی مالتی‌پلکسر سوم از S گرفته شود. یعنی D_0 ورودی مالتی-پلکسر سوم به خروجی S از Adder متصل باشد.

(۲) دستور شماره یک (A+1)

در حالتی که $S_0 S_1 S_2$ برابر 001 باشد، عدد A باید با یک جمع شده و در خروجی ظاهر شود. برای این کار ورودی B را صفر و کری ورودی CI را برابر یک قرار می‌دهیم. بنابر این باید ورودی D_1 مالتی‌پلکسر اول به زمین، و ورودی D_1 مالتی‌پلکسر دوم و سوم به ترتیب به VDD و S متصل شوند.

(۳) دستور شماره دو (A+B)

در حالتی که $S_0 S_1 S_2$ برابر 010 باشد، عدد A باید با عدد B جمع شده و در خروجی ظاهر شود. بنابر این باید ورودی D_2 مالتی‌پلکسر اول به خود عدد B، و ورودی D_2 مالتی‌پلکسر دوم و سوم به ترتیب به CI و S متصل شوند.

۴) دستور شماره سه (A-B)

در حالتی که $S_0S_1S_2$ برابر 011 باشد، عدد B باید از A کم شده و در خروجی ظاهر شود. در دیجیتال برای انجام عمل تفریق، مقدار B را متمم ۲ کرده و با عدد A جمع می‌کنیم. بنابر این ورودی D3 مالتی‌پلکسر اول \bar{B} ، مالتی‌پلکسر دوم VDD و مالتی‌پلکسر سوم S خواهد بود. به این ترتیب عدد B ابتدا متمم ۱ (NOT) می‌شود و با یک جمع می‌شود که تبدیل به متمم ۲ عدد B می‌شود سپس با عدد A جمع می‌شود. حاصل این عمل تفریق B از A را به دست می‌دهد. پس باید ورودی D3 مالتی‌پلکسرهای اول، دوم و سوم به ترتیب به \bar{B} ، VDD و S متصل شوند.

۵) دستور شماره چهار (\bar{A})

در حالتی که $S_0S_1S_2$ برابر 100 باشد، متمم عدد A باید در خروجی ایجاد شود. بنابر این مشخص است که نیازی به عدد B نداریم پس ورودی D4 مالتی‌پلکسر اول باید زمین شود. همان‌طور که از جدول درستی که قبلاً آمده است بر می‌آید، در حالتی که CI یک و خروجی از S گرفته شود، \bar{A} ایجاد می‌شود. پس ورودی D4 مالتی‌پلکسر دوم و سوم را به ترتیب VDD و S قرار می‌دهیم.

۶) دستور شماره پنج (A.B)

در حالتی که $S_0S_1S_2$ برابر 101 باشد، حاصل ضرب منطقی دو عدد A و B باید در خروجی ایجاد شود. واضح است که ورودی D5 مالتی‌پلکسر اول باید خود عدد B باشد. از بررسی جدول درستی جمع‌کننده در می‌یابیم که اگر CI را برابر صفر قرار دهیم و خروجی را از CO بگیریم نتیجه، حاصل ضرب منطقی A و B خواهد بود. بنابراین ورودی D5 مالتی‌پلکسر دوم و سوم را به ترتیب به GND و CO متصل می‌کنیم.

۷) دستور شماره شش ($A \vee B$)

در حالتی که $S_0S_1S_2$ برابر 110 باشد، حاصل جمع منطقی دو عدد A و B باید در خروجی ایجاد شود. مشخص است که ورودی D6 مالتی‌پلکسر اول باید خود عدد B باشد. از بررسی جدول درستی جمع‌کننده در می‌یابیم که اگر CI را برابر یک قرار دهیم و خروجی را از CO بگیریم نتیجه، حاصل جمع منطقی A و B خواهد بود. بنابراین ورودی D6 مالتی‌پلکسر دوم و سوم را به ترتیب به VDD و CO متصل می‌کنیم.

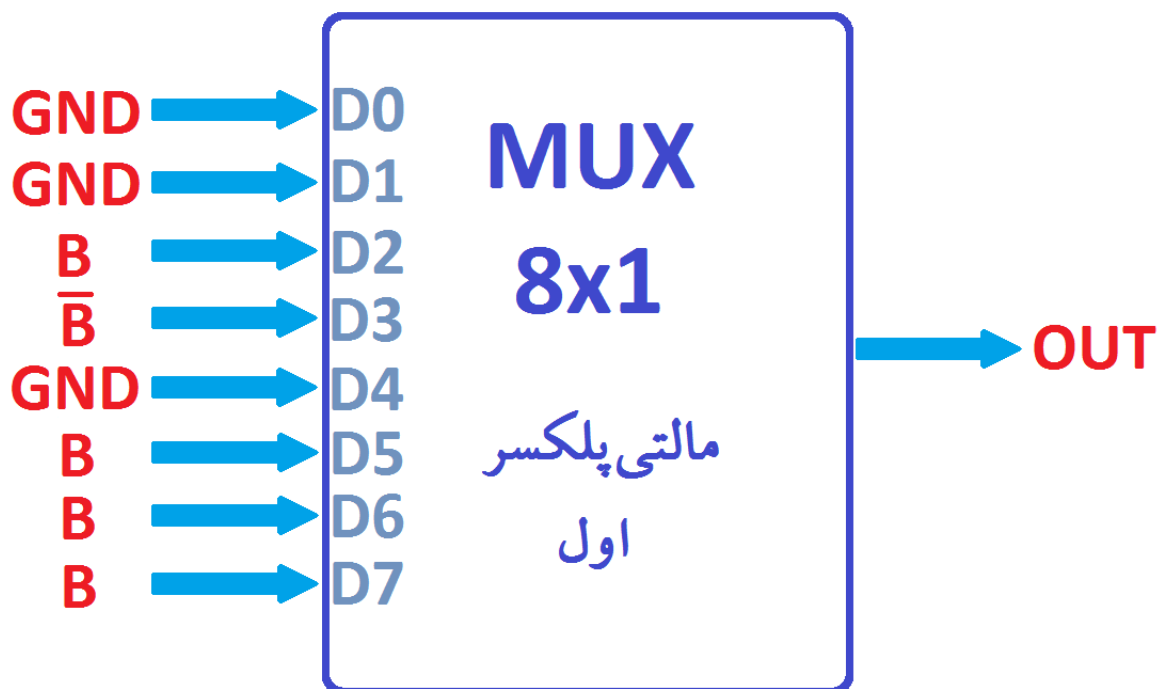
۸) دستور شماره هفت (A XOR B)

در حالتی که $S_0S_1S_2$ برابر 111 باشد، حاصل جمع انحصاری دو عدد A و B باید در خروجی ایجاد شود. روشن است که ورودی D7 مالتی‌پلکسر اول باید خود عدد B باشد. از بررسی جدول درستی جمع‌کننده در می‌یابیم که اگر CI را برابر صفر قرار دهیم و خروجی را از S بگیریم نتیجه، حاصل جمع انحصاری منطقی A و B خواهد بود. بنابراین ورودی D7 مالتی‌پلکسر دوم و سوم را به ترتیب به GND و S متصل می‌کنیم.

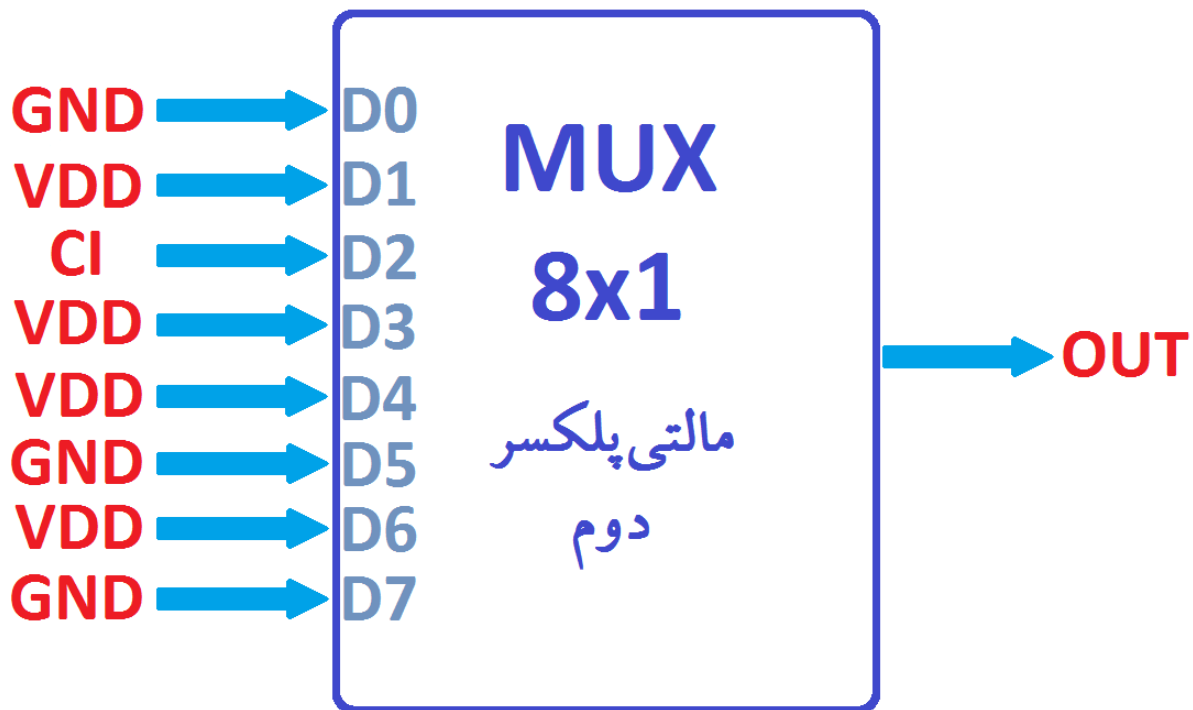
تفاوت

نکته‌ای که لازم است ذکر شود این است که اتصالاتی که بیان شد مربوط به بلوک جمع کننده‌ی اول هستند و در بلوک‌های بعدی تفاوتی جزئی ایجاد می‌شود. تفاوت آن است که در دستورهای شماره یک، دو و سه ما در بلوک‌های بعدی نیاز به کری تولید شده در بلوک قبلی داریم بنابراین ورودی‌های D1، D2 و D3 مالتی‌پلکسر دوم در بلوک‌های بعدی، هر سه باید به کری بلوک قبل متصل شوند. بنابراین این بلوک اول در ورودی‌های مالتی-پلکسر دوم با سایر بلوک‌ها تفاوت دارد.

در شکل‌های زیر خلاصه اتصالات هر کدام از مالتی‌پلکسرها آورده شده است.



شکل (۲) ورودی‌های مالتی‌پلکسر اول



شکل (۳) ورودی‌های مالتی پلکسر دوم مربوط به بلوک اول



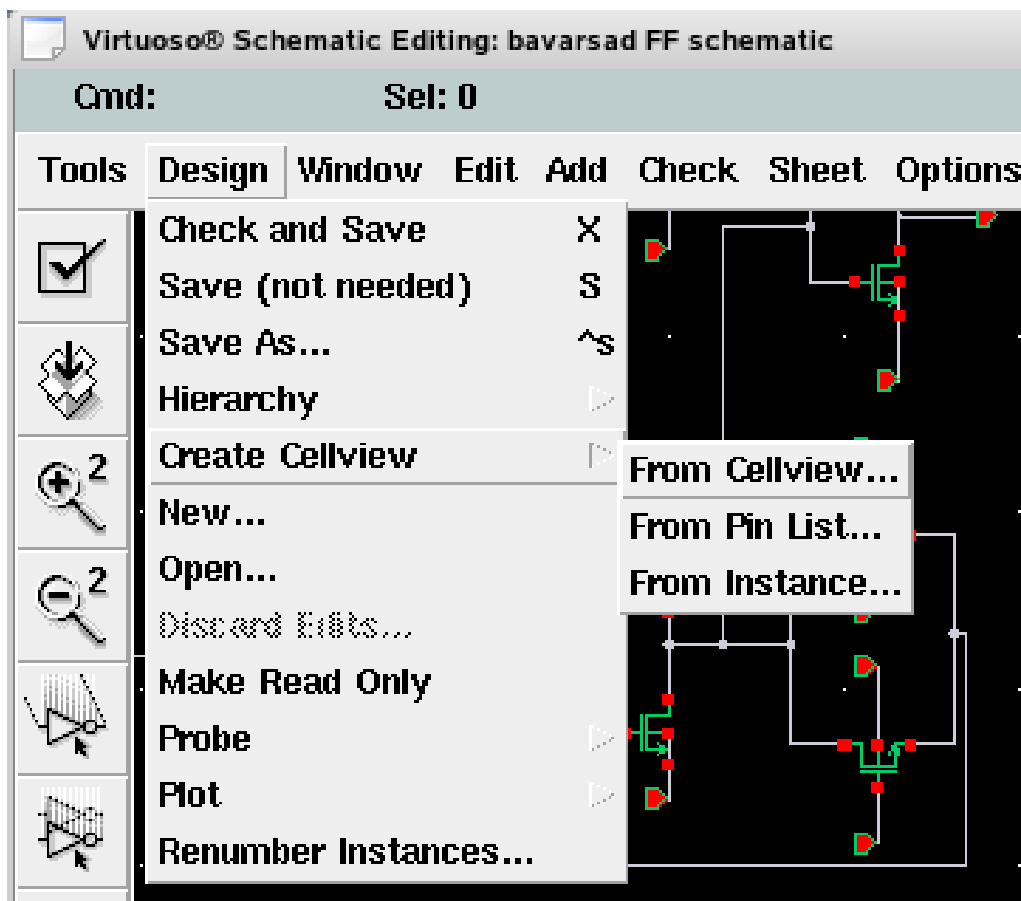
شکل (۴) ورودی‌های مالتی پلکسر سوم



شکل (۵) مالتی پلکسر دوم مربوط به بلوک‌های بعدی

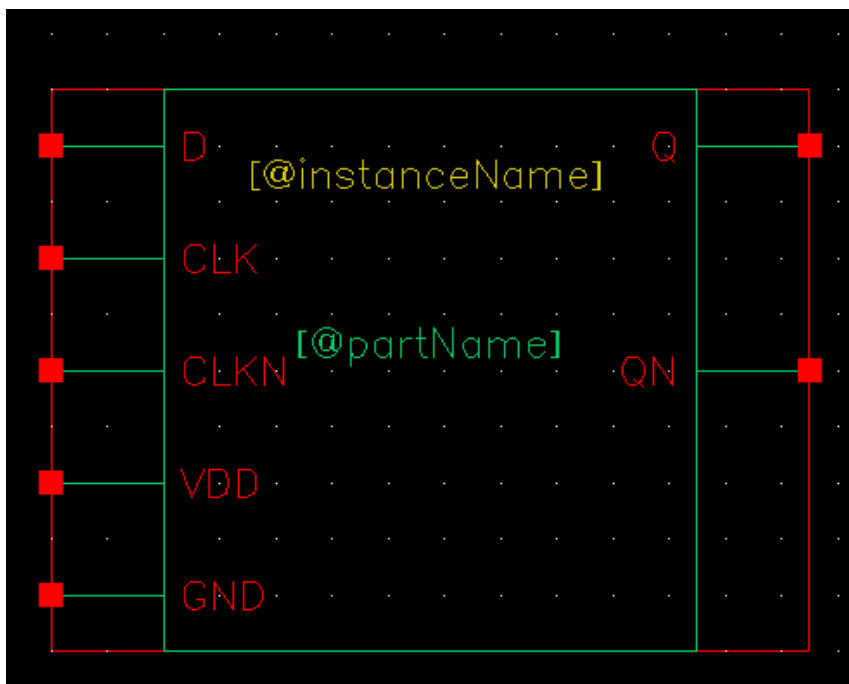
رسم شماتیک

پس از طراحی اولیه‌ی ALU نوبت به رسم شماتیک آن در نرم‌افزار Cadence می‌رسد. در رسم شماتیک اصلی ALU از سه جزء مختلف استفاده شده است که شامل Adder، مالتی‌پلکسر و فلیپ‌فلاپ می‌باشد. شماتیک هر کدام از این اجزاء به صورت جداگانه با استفاده از ترانزیستورهای NMOS و PMOS در تکنولوژی 180nm در یک فایل مجزا رسم شد سپس layout شان نیز رسم شده، تست‌های DRC و LVS گرفته شد و در نهایت سیمبول مربوط به هر کدام ایجاد گردید. برای جلوگیری از پیچیدگی مدار در رسم ALU نهایی که شامل تعدادی Adder، فلیپ‌فلاپ و مالتی‌پلکسر است از این سیمبول‌ها استفاده شد. برای ساخت سیمبول هر جزء پس از رسم شماتیک آن از منوی Design گزینه‌ی « Create Cellview » From Cellview را انتخاب می‌کنیم.



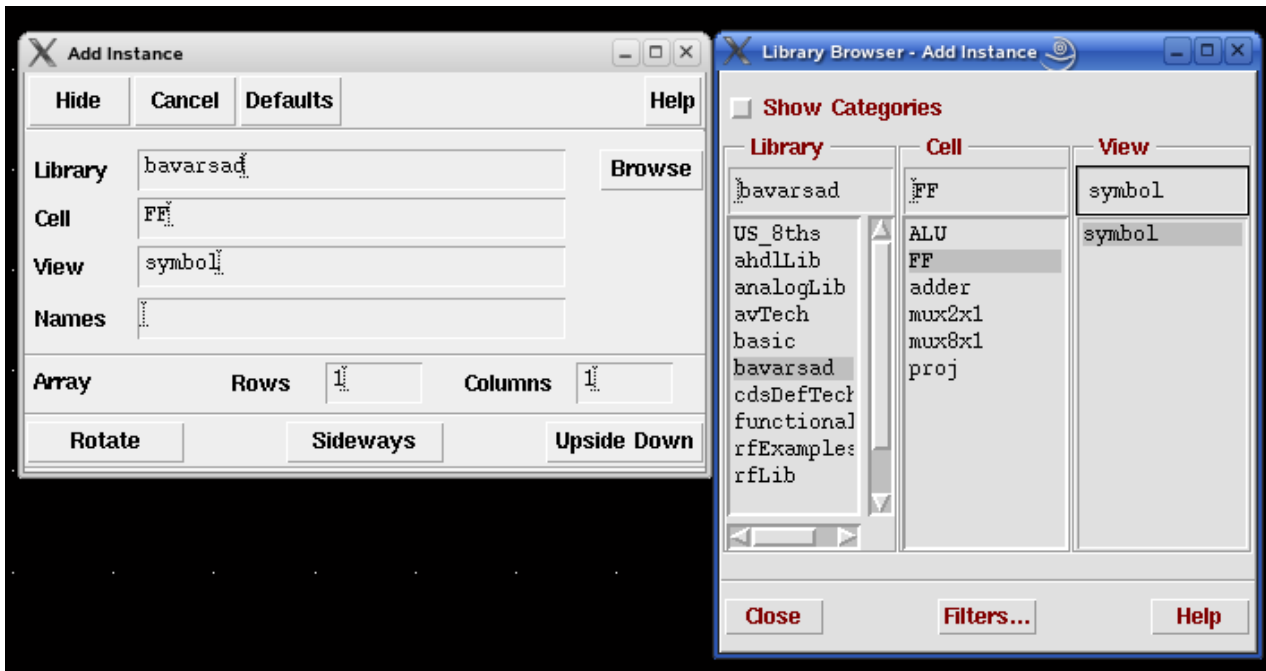
شکل (۶) مسیر ایجاد سیمبول

پس از تایید پیغام‌ها، وارد صفحه‌ی سمبول می‌شویم. در این صفحه می‌توان جای پورت‌ها، اندازه و شکل سمبول را به دلخواه تغییر داد. پس از ویرایش نهایی از منوی Design گزینه‌ی Check and Save را انتخاب کرده و پنجره را می‌بندیم.



شکل (۷) سمبول ساخته شده برای فلیپ‌فلاپ

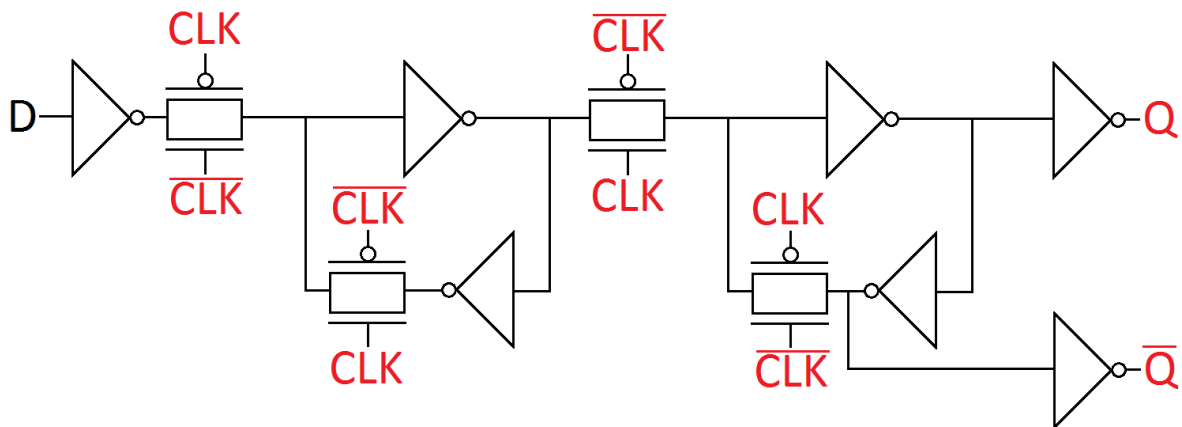
از این پس برای استفاده از این مدار در طراحی‌های بعدی نیاز به رسم دوباره‌ی آن نیست و میتوان از مسیر Instance»Brows»Bavarsad»FF»symbol از سمبول ایجاد شده استفاده کرد. شکل (۸) نحوه استفاده از سمبول ساخته شده را نشان می‌دهد. در اینجا Bavarsad نام Library و FF نام Cell مدار من بوده است.



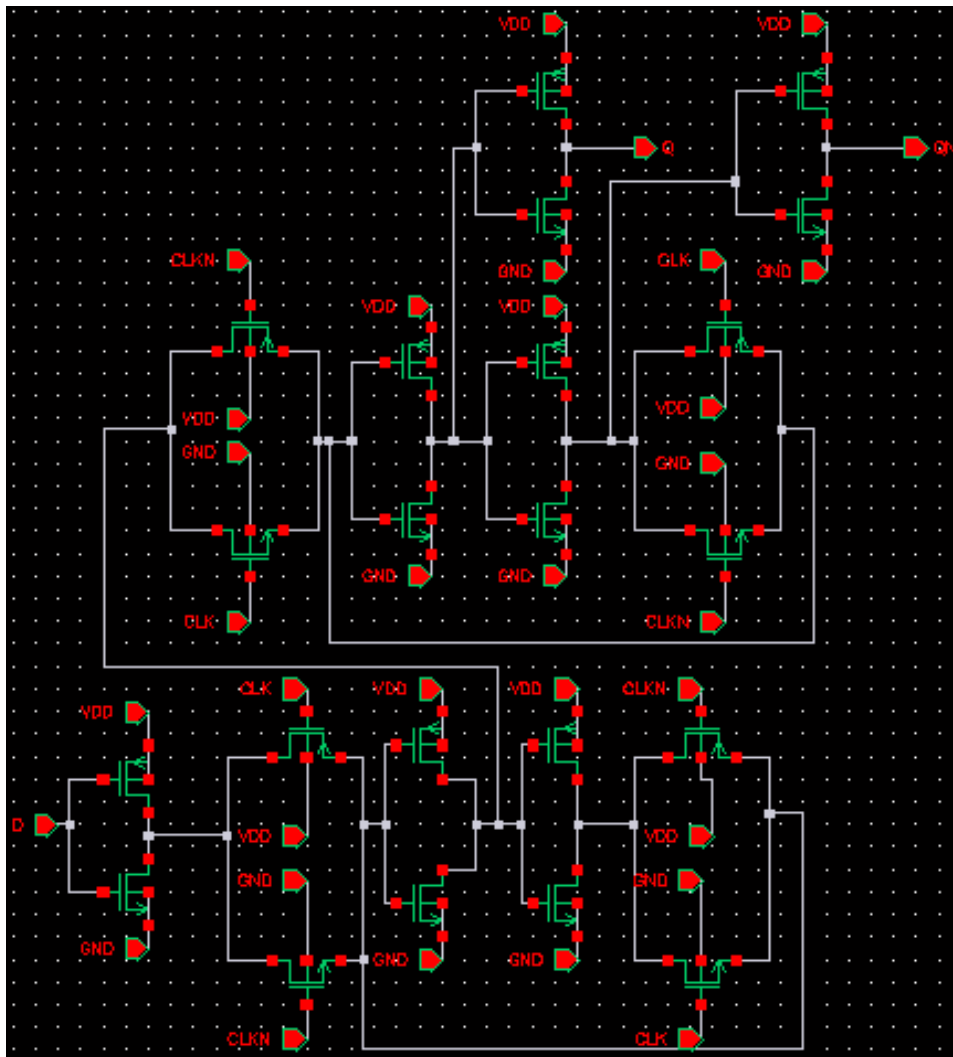
شکل (۸) استفاده از سیمبول ساخته شده در رسم شماتیک

مدار فلیپ فلاپ

برای ساخت فلیپ فلاپ از مدار شکل زیر استفاده شده است. این فلیپ فلاپ حساس به لبه‌ی بالا رونده است و Q و \bar{Q} را تولید می‌کند. شماتیک رسم شده‌ی آن در نرم‌افزار نیز در شکل (۱۰) آورده شده است.



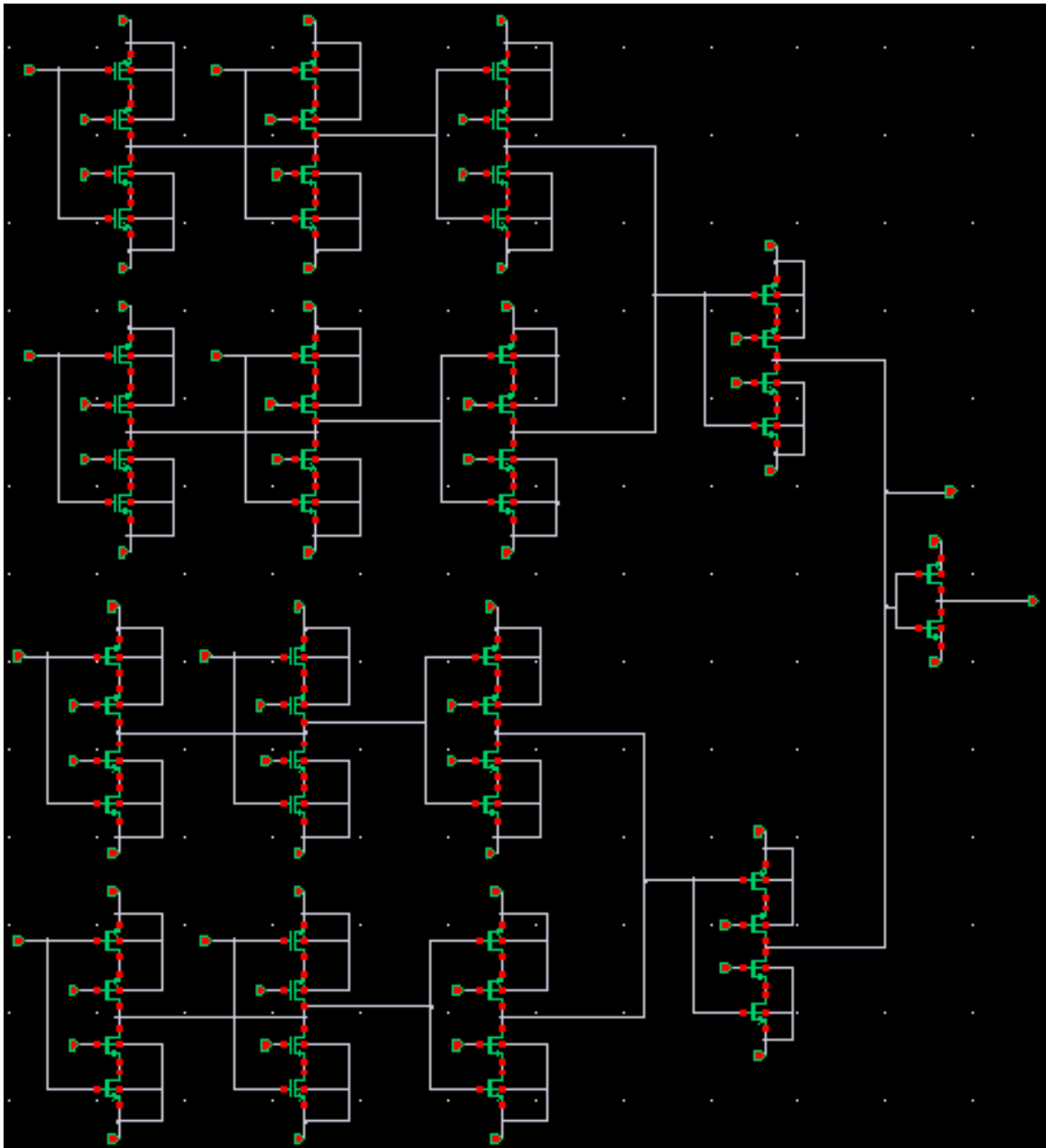
شکل (۹) مدار فلیپ فلاپ



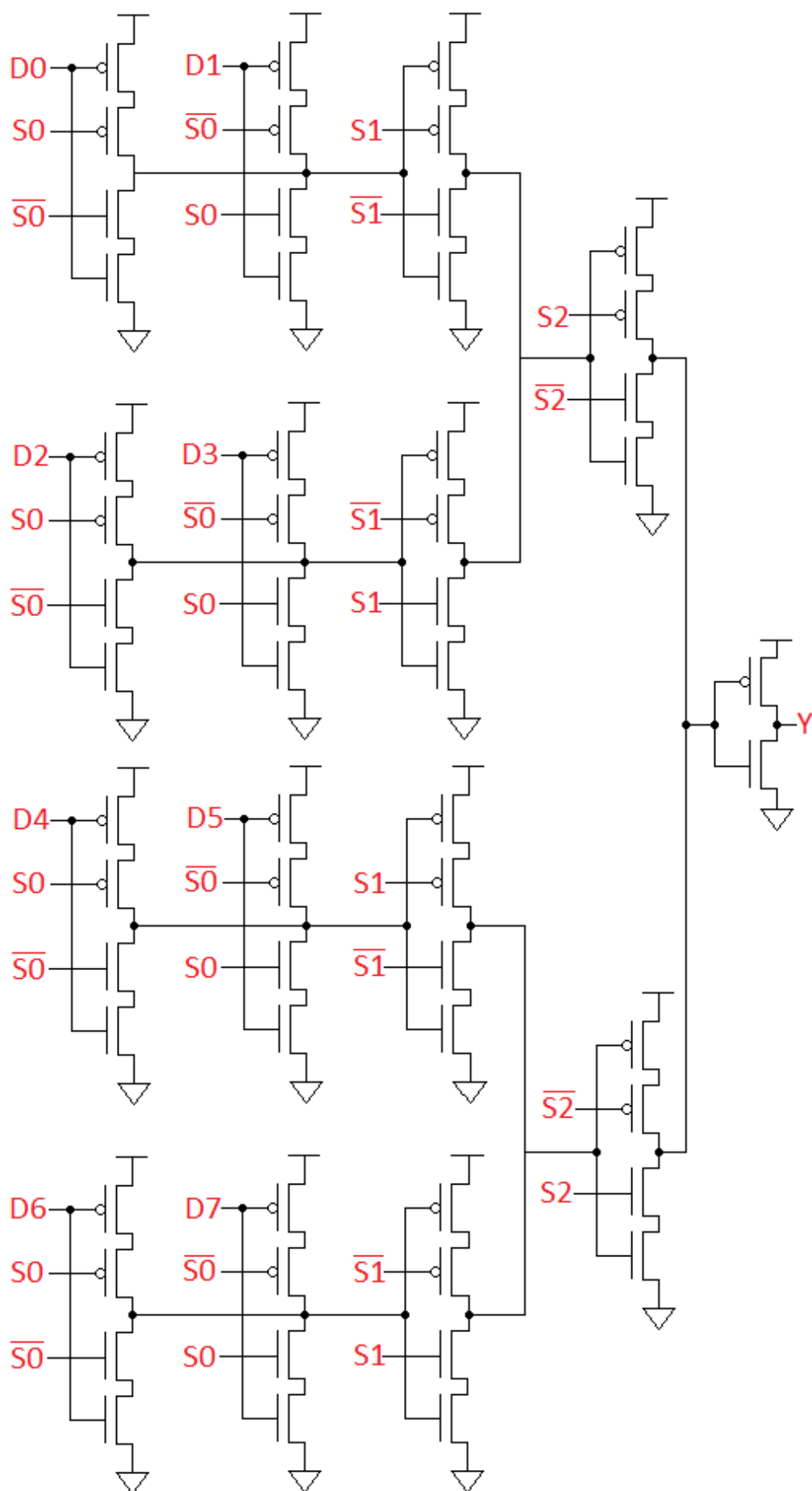
شکل (۱۰) شماتیک فلیپ فلاپ

مدار مالتی پلکسر

برای ساخت مالتی پلکسر از مالتی پلکسرهای دو به یک ریستورینگ استفاده شد. این روش ساخت مالتی پلکسر هشت به یک، علاوه بر تحمیل خازن کمتر دارای ولتاژ Low و High مناسب تری هست. اگر از ماکس چهار به یک استفاده می شد طبقات بیشتری از ترانزیستورها نیاز بود و بنابراین باید دارای سایز بزرگتری می شدند (که به معنی خازن بیشتر می باشد). همچنین طبقات سری ترانزیستور باعث افت ولتاژ High و افزایش ولتاژ Low می شود. به دلیل این که این نوع از مالتی پلکسرها ورودی را معکوس می کنند و ما تعداد فردی از آنها را به صورت سری استفاده کرده ایم، در انتهای مدار نیاز به یک NOT داریم تا علامت خروجی و ورودی یکسان شوند. مدار استفاده شده برای ساخت مالتی پلکسر و شماتیک رسم شده در نرم افزار در شکل های زیر آمده اند.



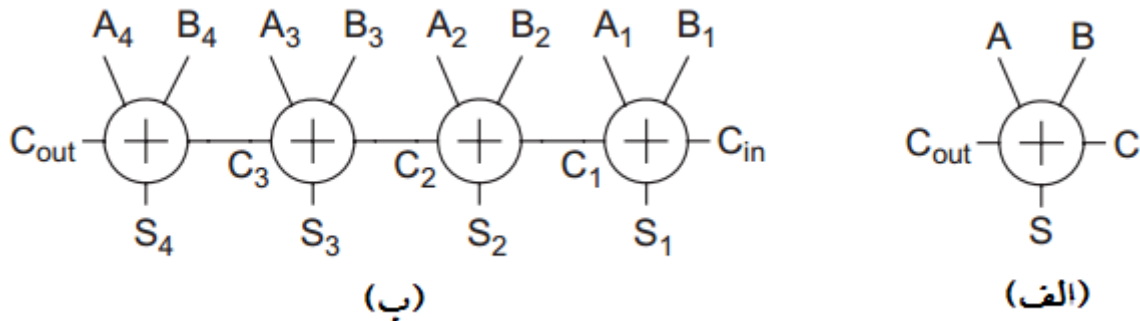
شکل (۱۱) شماتیک مالتی پلکسر هشت به یک



شکل (۱۲) مدار مالتی پلکسر هشت به یک

مدار جمع کننده (Adder)

نمودار بلوکی یک جمع کننده چهار بیتی که با استفاده از چهار Full Adder ساخته شده است، به صورت زیر است.



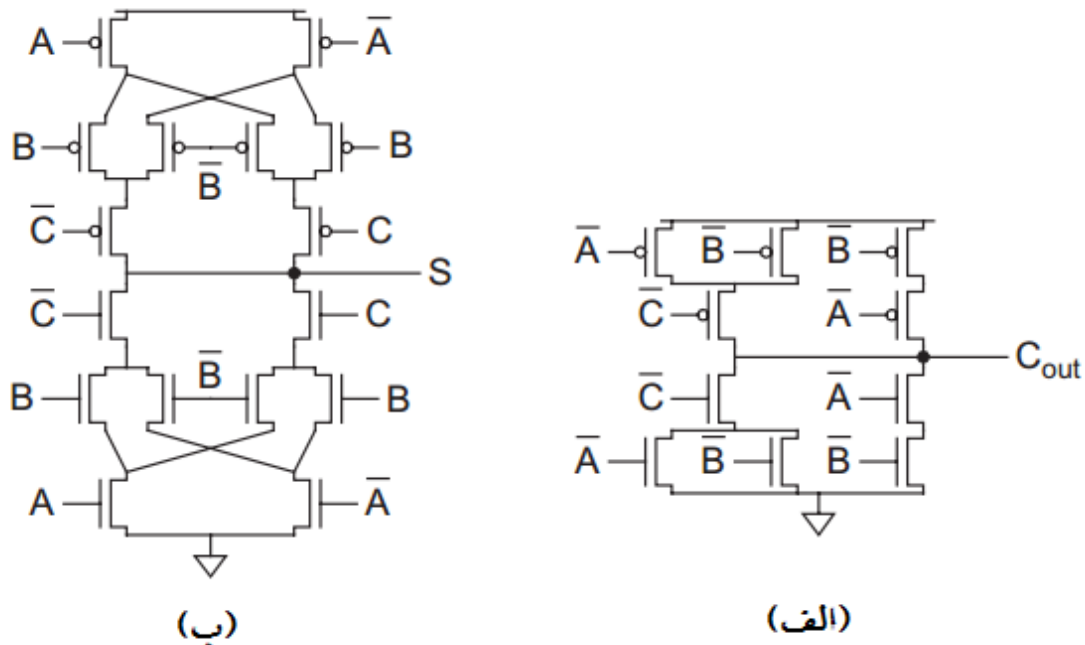
شکل (۱۳) الف) Full Adder ب) جمع کننده چهار بیتی

برای ساخت یک Full Adder جدول درستی را ایجاد کرده، روابط S و C_{out} را استخراج کرده و پس از ساده سازی به روابط زیر می‌رسیم.

$$S = A\bar{B}\bar{C} + \bar{A}B\bar{C} + \bar{A}\bar{B}C + ABC = (A \oplus B) \oplus C$$

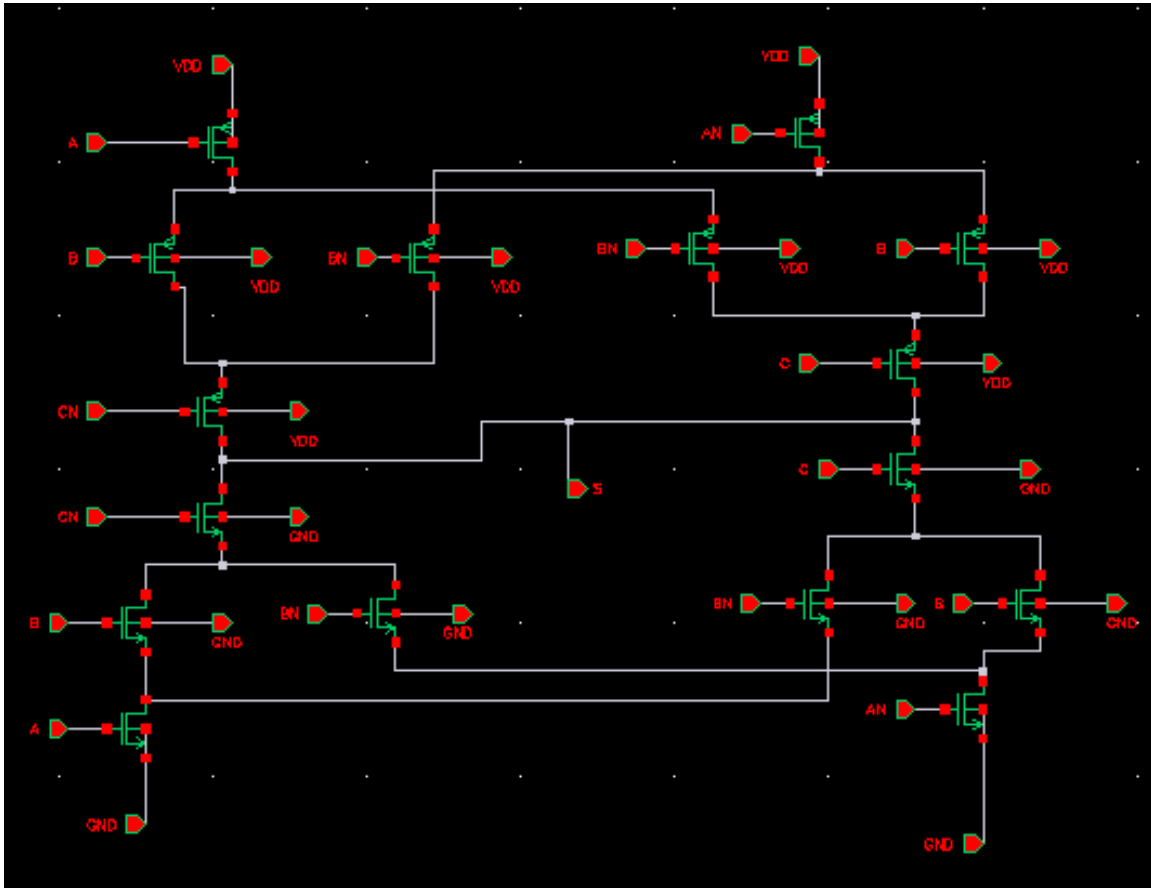
$$C_{out} = AB + AC + BC = AB + C(A + B) = \overline{\bar{A}\bar{B} + \bar{C}(\bar{A} + \bar{B})}$$

در نهایت با استفاده از این توابع مدار جمع کننده به صورت زیر ساخته می‌شود.

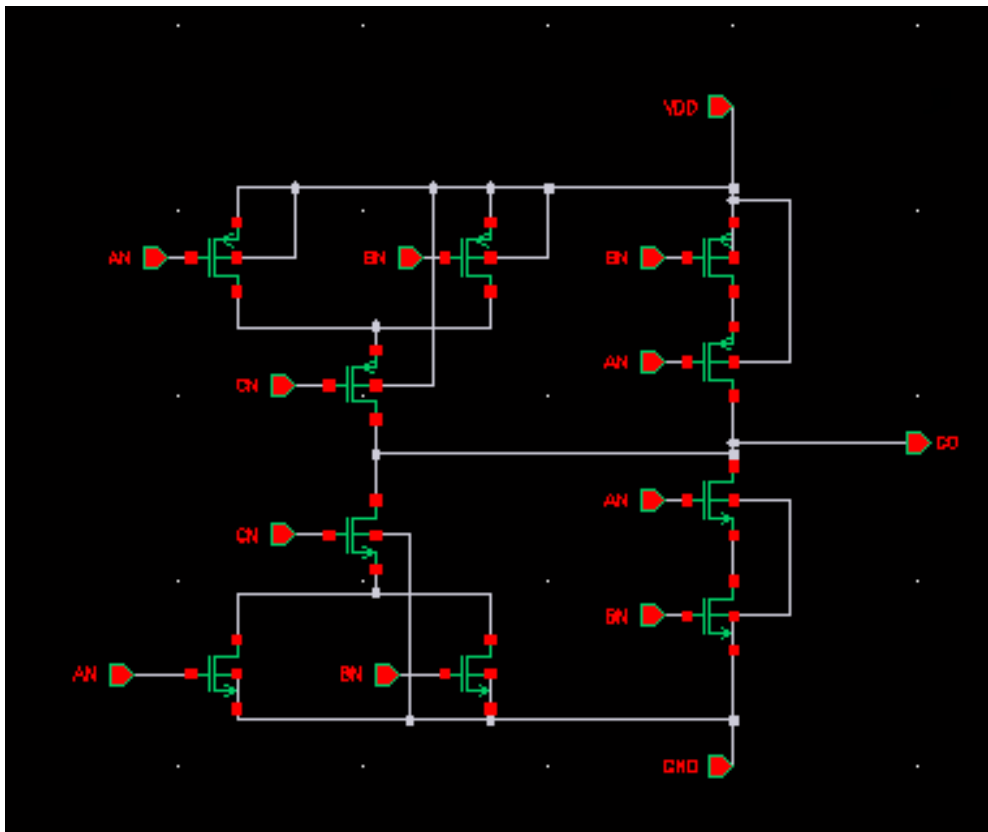


شکل (۱۴) مدار جمع کننده (Full Adder)

مدار رسم شده برای جمع کننده در نرم افزار Cadence در شکل های زیر آمده است.



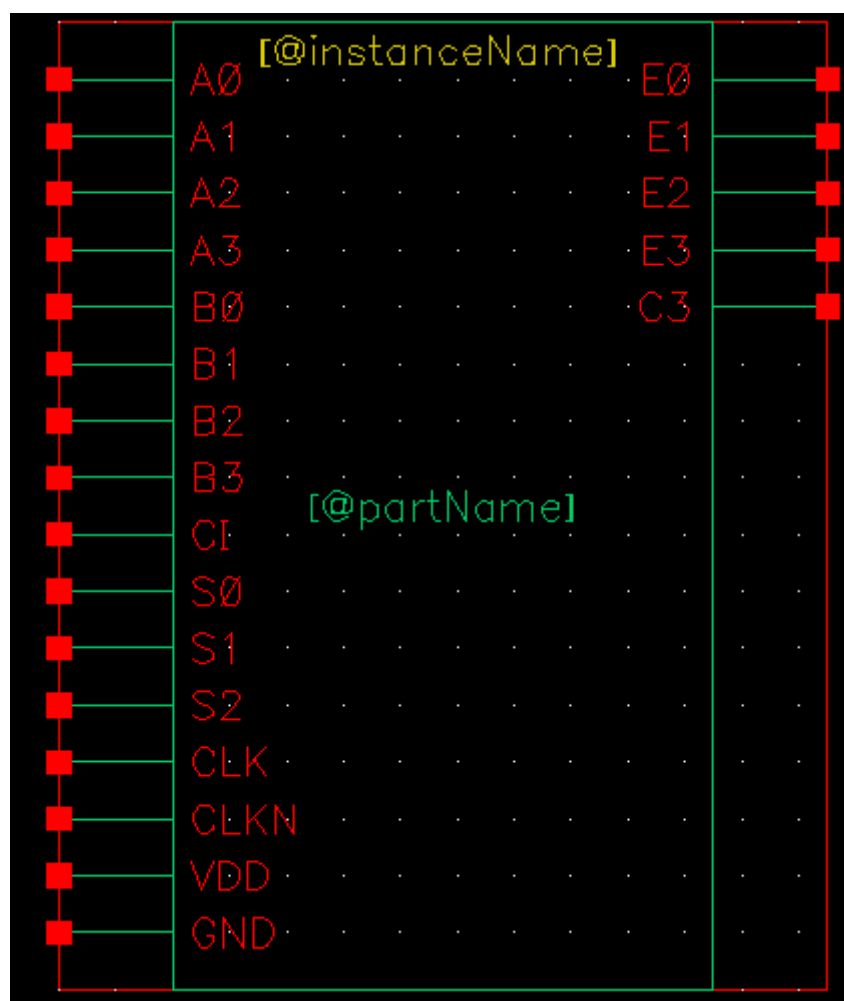
شکل (۱۵) شماتیک تولید S جمع کننده



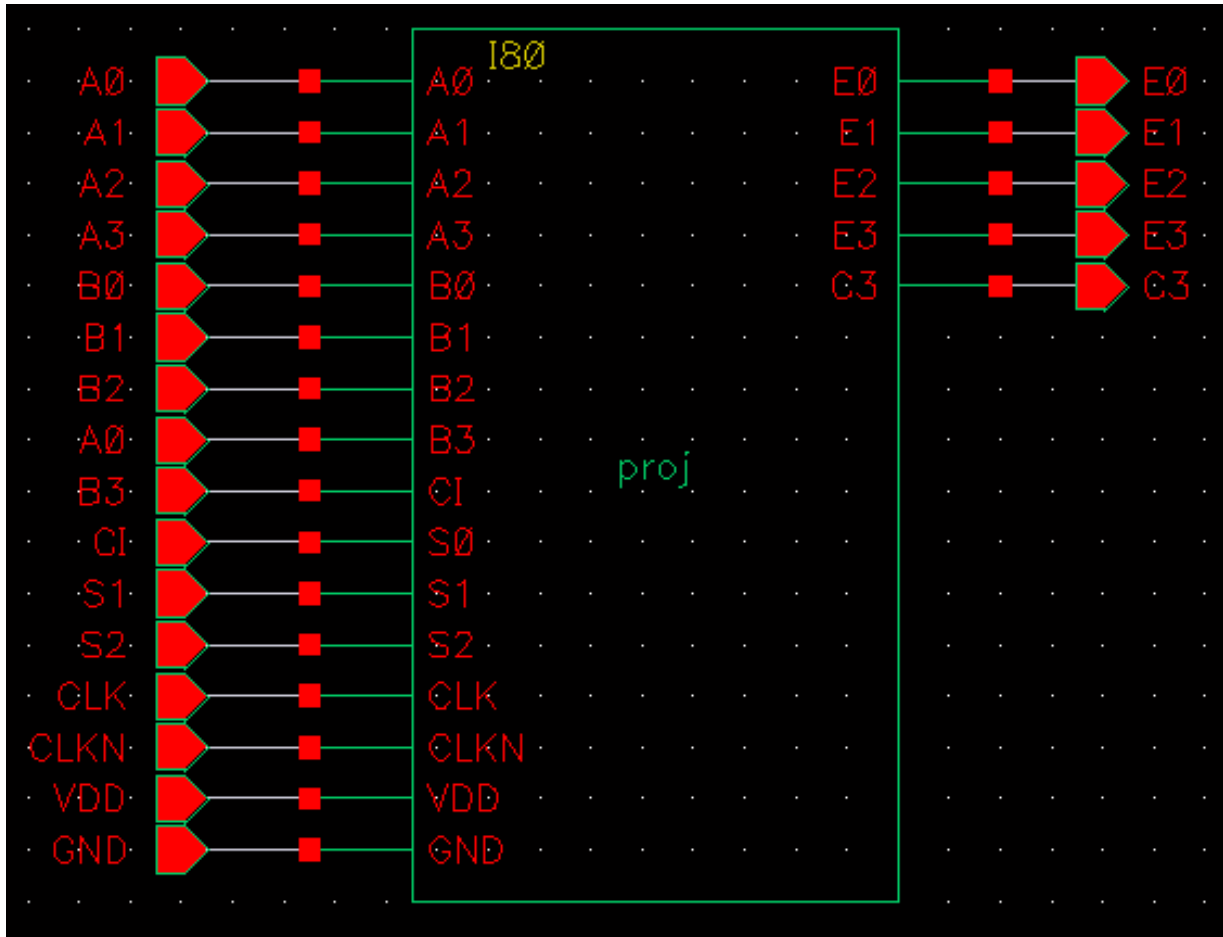
شکل (۱۶) مدار تولید C_{OUT} جمع کننده

مدار ALU

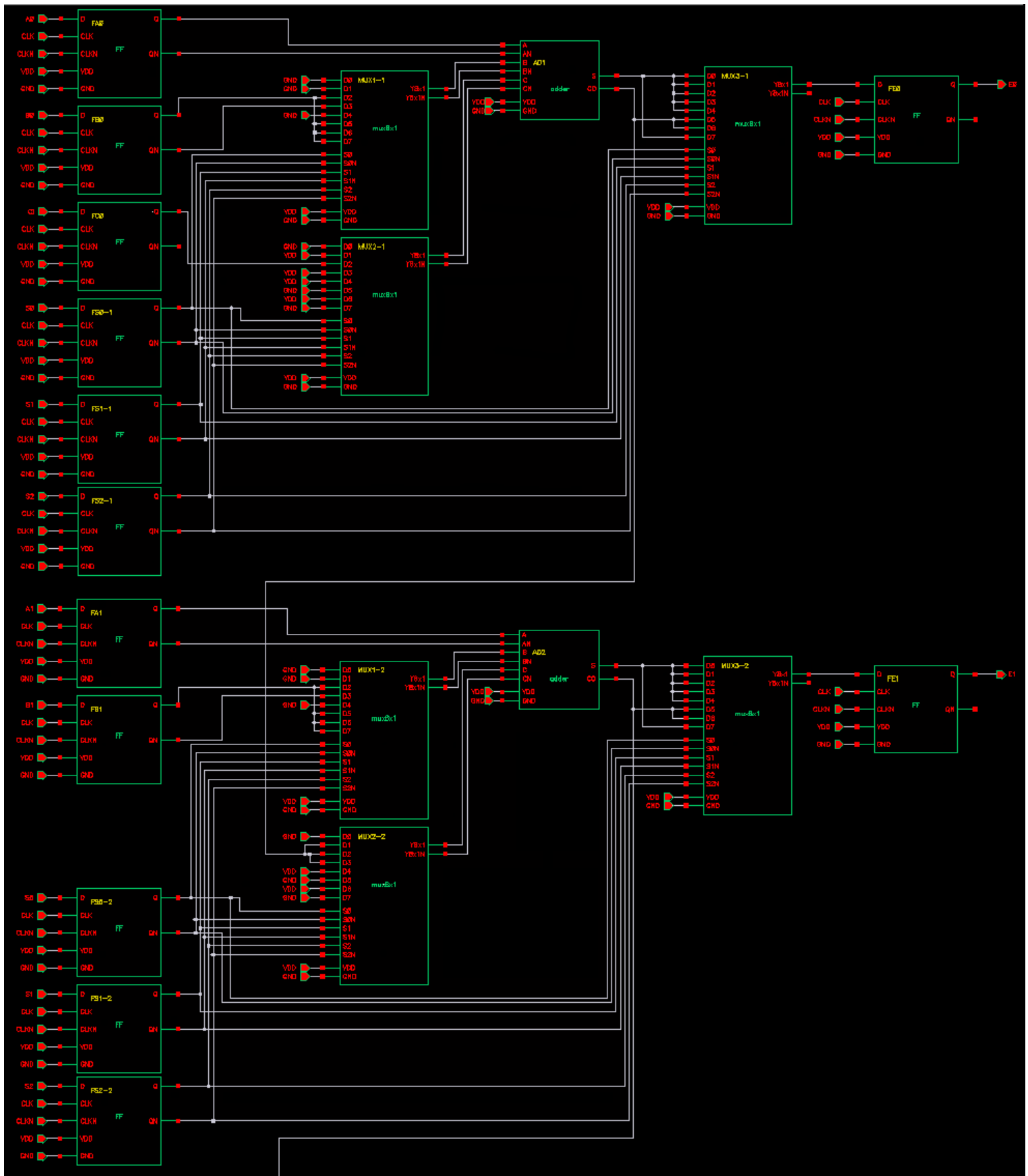
شماتیک رسم شده‌ی دو بلوک اول مدار ALU در نرم‌افزار با استفاده از سیمبول‌ها، در شکل (۱۹) آورده شده است. پس از رسم شماتیک کل مدار برای خود این مدار نیز یک سیمبول ساختیم که شبیه‌سازی و کار با آن ساده‌تر گردد. در یک Cellview جداگانه به نام ALU از این سیمبول استفاده شد. ورودی‌ها و خروجی‌ها مشخص شدند و با اعمال داده‌های مختلف مدار شبیه‌سازی شد و مورد آزمایش قرار گرفت. برای این که مدار به صورت سنکرون کار کند باید قادر به استفاده از پالس کلاک ساعت باشد که خود مستلزم استفاده از فلیپ‌فلاپ است. همان‌طور که در شکل نیز مشخص است بر سر هر کدام از ورودی‌های A0 تا A3 همچنین B0 تا B3 و نیز S0، S1، S2 و یک فلیپ‌فلاپ قرار گرفته است. همچنین بر سر خروجی‌های E0 تا E3 و C3 نیز فلیپ‌فلاپ قرار گرفته است. بنابر این سیستم به صورت PipeLine عمل می‌کند و با هر پالس ساعت یک خروجی داریم. به این ترتیب با هر پالس ساعت یک سری از داده‌ها برای عملیات وارد ALU می‌شوند و همزمان داده‌هایی که قبلاً پردازش شده بودند به خروجی می‌روند. ورود داده‌های خام، پردازش و خروج داده‌های خروجی به اندازه‌ی دو پالس ساعت زمان می‌برد.



شکل (۱۷) سیمبول ساخته شده برای کل مدار ALU



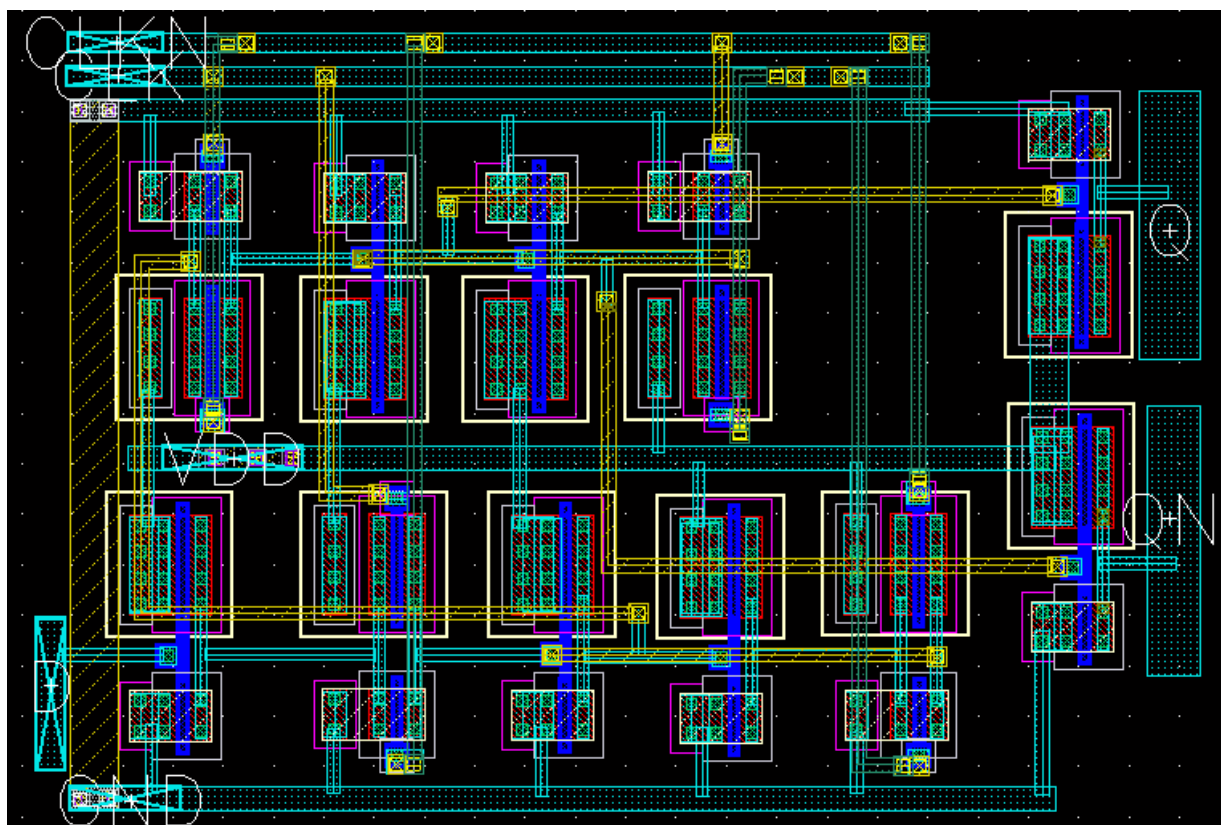
شکل (۱۸) استفاده از سیمبول ALU در صفحه‌ی شماتیک برای اجرای شبیه سازی



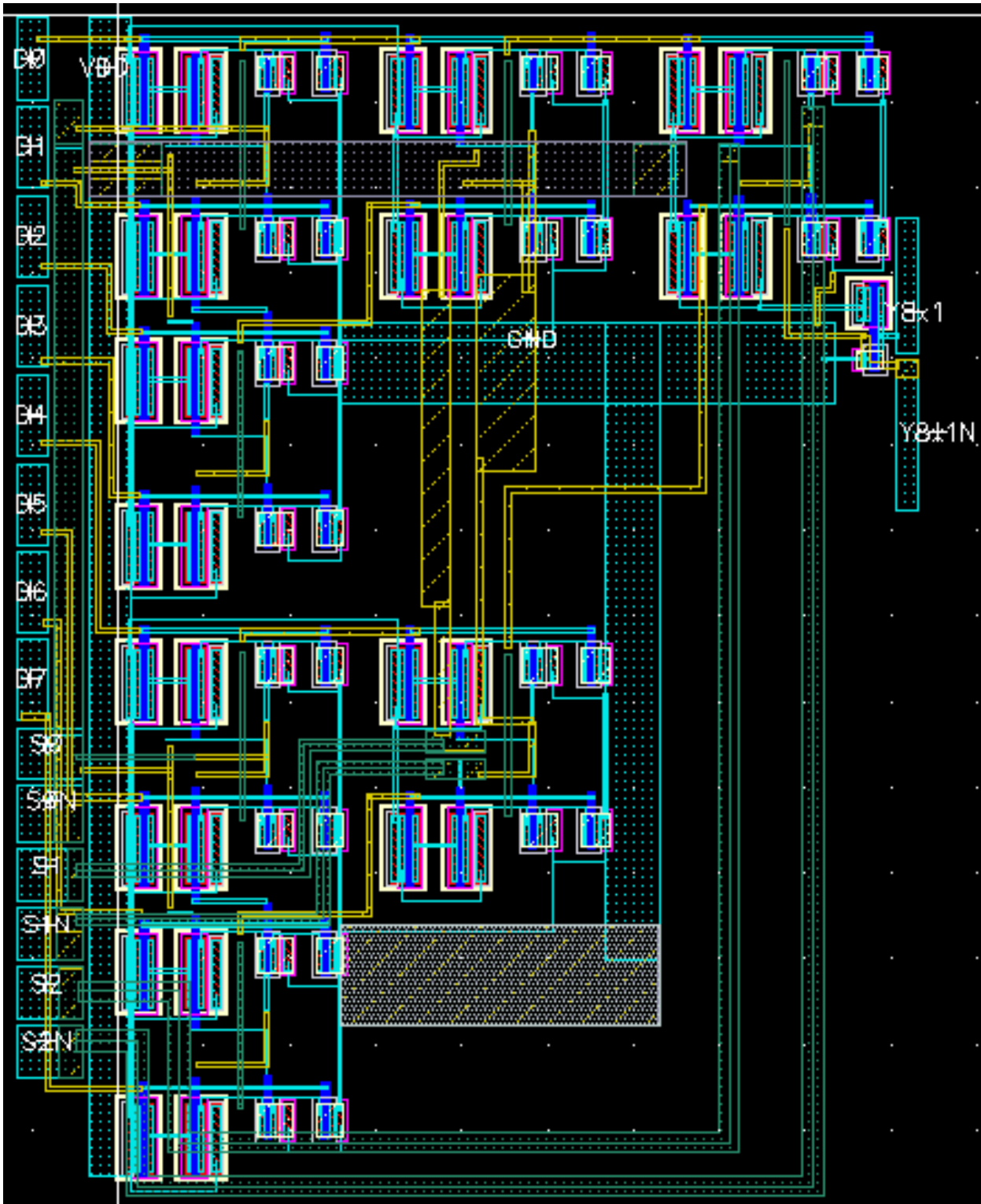
شکل (۱۹) شماتیک مدار ALU در نرم افزار Cadence

رسم Layout

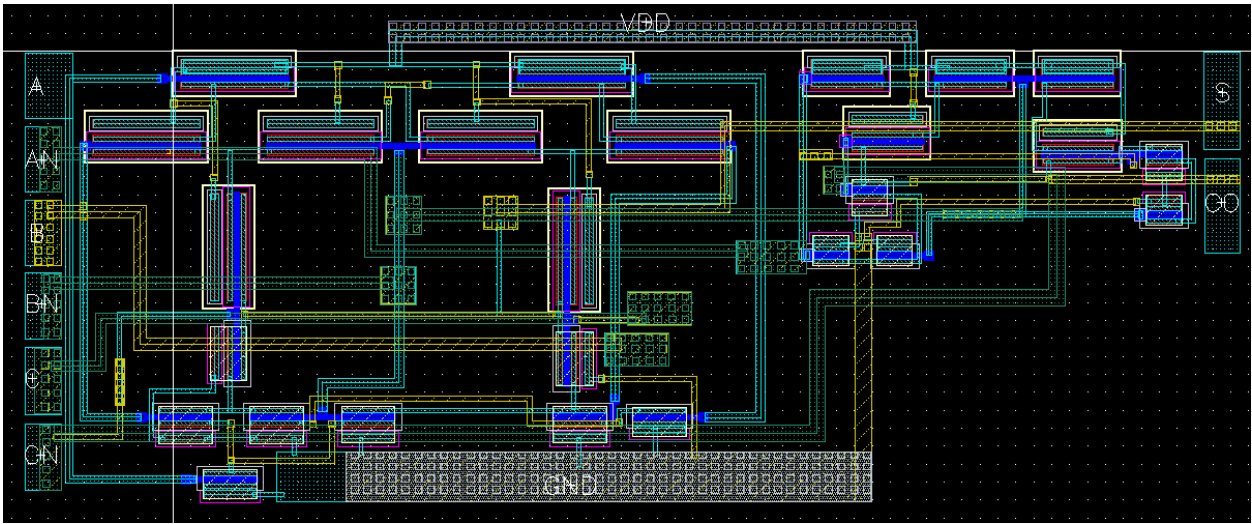
پس از رسم شماتیک و انجام شبیه سازی و اطمینان از صحت عملکرد مدار، نوبت به رسم Layout مدارها می‌رسد. برای رسم Layout، در صفحه‌ی شماتیک از منوی Tools ، «Layout XL» Design Synthesis را انتخاب می‌کنیم. پس از تایید پیغام‌های داده شده یک صفحه‌ی Layout باز می‌شود. حال در این صفحه Design » Gen From Source را اجرا می‌کنیم. پس از این کار همه‌ی ترانزیستورهای استفاده شده در شماتیک با همان اندازه‌ها و نام‌های مشابه وارد صفحه‌ی Layout می‌شوند. اکنون می‌توان Layout مدار را ترسیم کرد. لی‌اوت‌های رسم شده‌ی فلیپ‌فلاپ، مالتی‌پلکسر، Adder و ALU نهایی در شکل‌های زیر آورده شده‌اند.



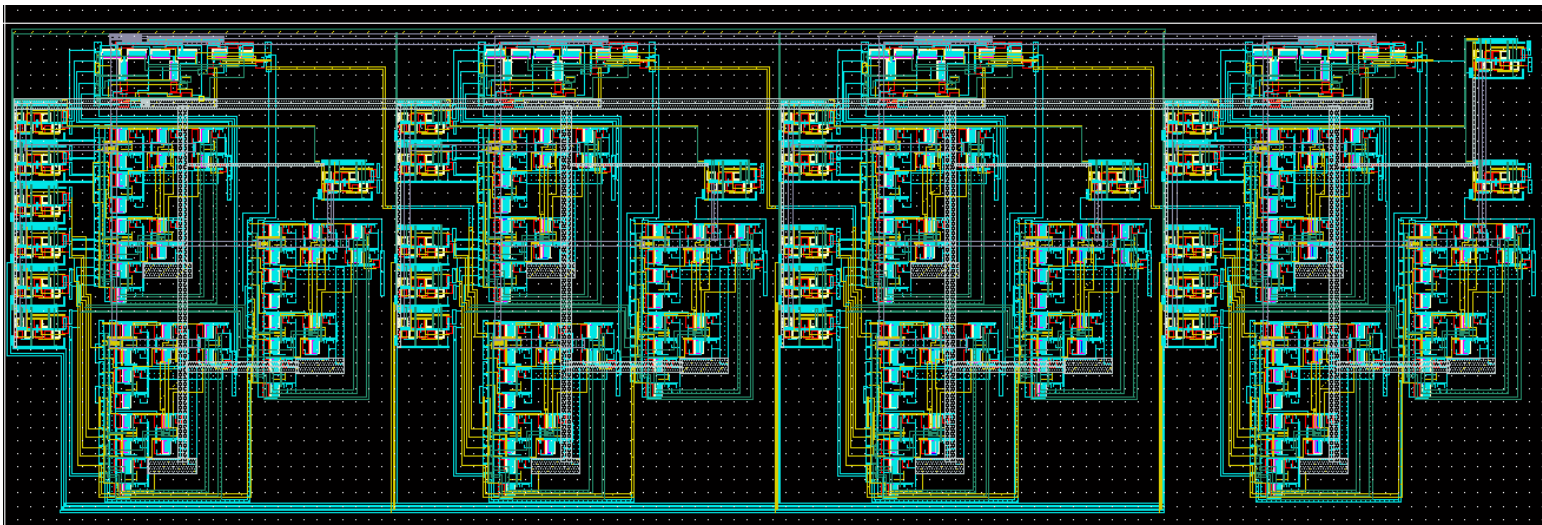
شکل (۲۰) Layout فلیپ فلاپ



شکل (۲۱) Layout مالتی پلکسر



شکل (۲۲) Layout جمع کننده



شکل (۲۳) Layout کلی

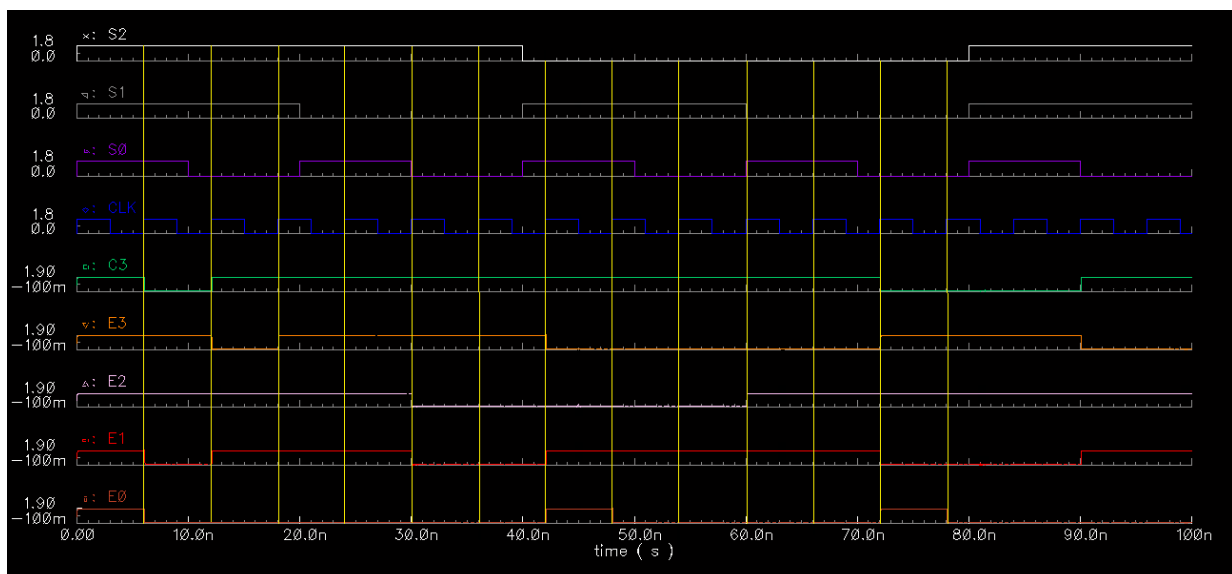
مشخصات و اندازه‌ها

در رسم Layout از سه متال یک، دو و سه برای سیگنال، متال چهار برای VDD و متال پنج برای GND استفاده شد. طول و عرض مدار نهایی $589 \times 185 \mu m$ به دست آمد. بنابراین مساحت کل مدار $108965 \mu m^2$ یا $0.108 mm^2$ محاسبه می‌شود.

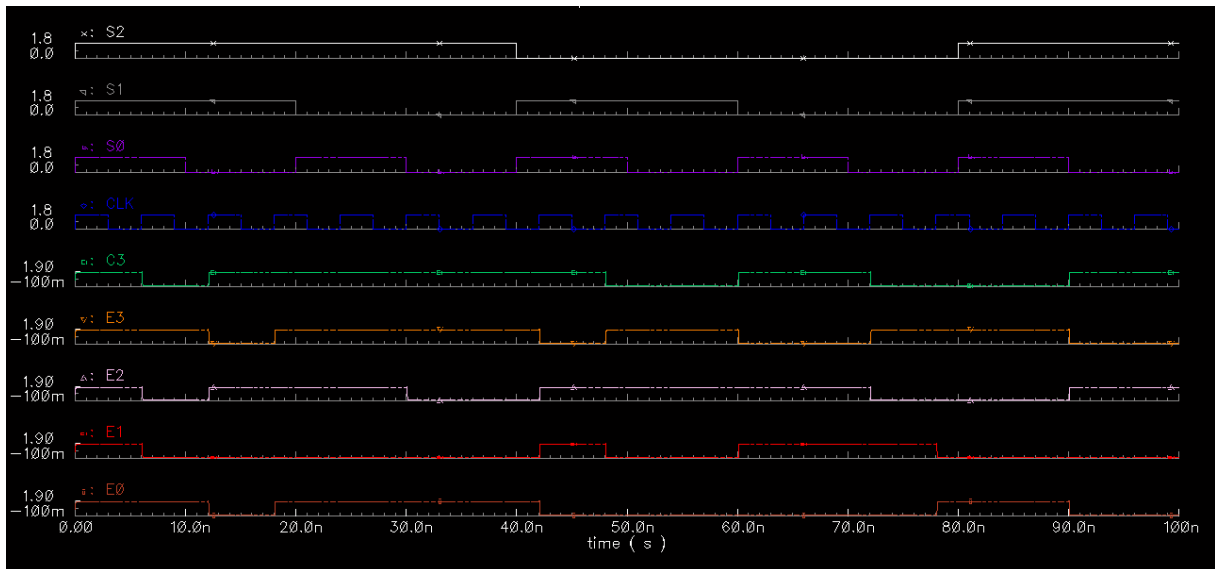
شبیه‌سازی

هر کدام از اجزا مدار یعنی فلیپ‌فلاپ، مالتی‌پلکسر و Adder به طور جداگانه مورد آزمایش قرار گرفتند که در اینجا فقط به ارائه‌ی تصاویری از شبیه‌سازی آن‌ها بسنده می‌کنیم. برای شبیه‌سازی ALU دو حالت مختلف را در نظر گرفتیم. در هر حالت دو مقدار متفاوت به ورودی‌های A و B داده شد و نتایج با مقادیر از قبل محاسبه شده مقایسه گردید. در هر حالت مدار به خوبی عمل می‌کرد. مقادیر مورد انتظار و نتایج شبیه‌سازی در جداول و شکل‌های زیر آورده شده است.

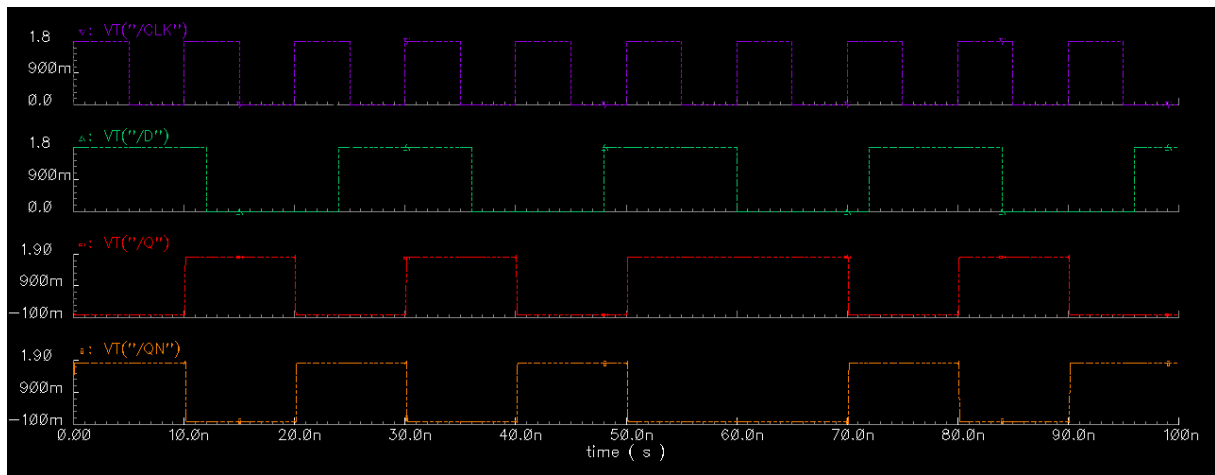
| حالت | ورودی | | $S_0S_1S_2$ | | | | | | | |
|--------|-------|------|-------------|------|-------|-------|------|------|------|------|
| | A | B | 000 | 001 | 010 | 011 | 100 | 101 | 110 | 111 |
| حالت ۱ | 1100 | 1010 | 1100 | 1101 | 10110 | 10010 | 0011 | 1000 | 1110 | 0110 |
| حالت ۲ | 1001 | 1101 | 1001 | 1010 | 10110 | 00110 | 0110 | 1001 | 1101 | 0100 |



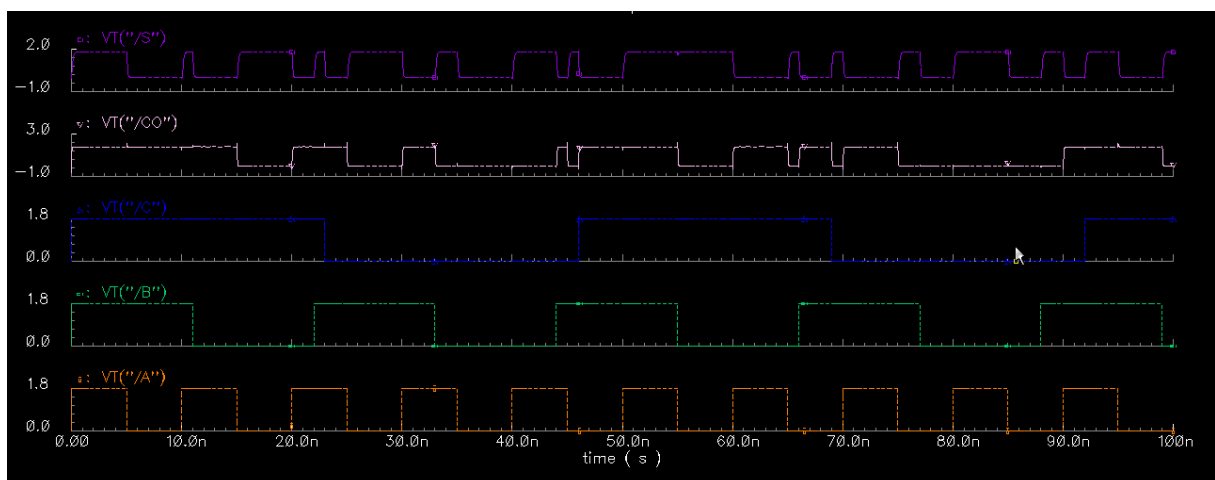
شکل (۲۴) شبیه‌سازی ALU در حالت اول



شکل (۲۵) شبیه سازی ALU در حالت دوم



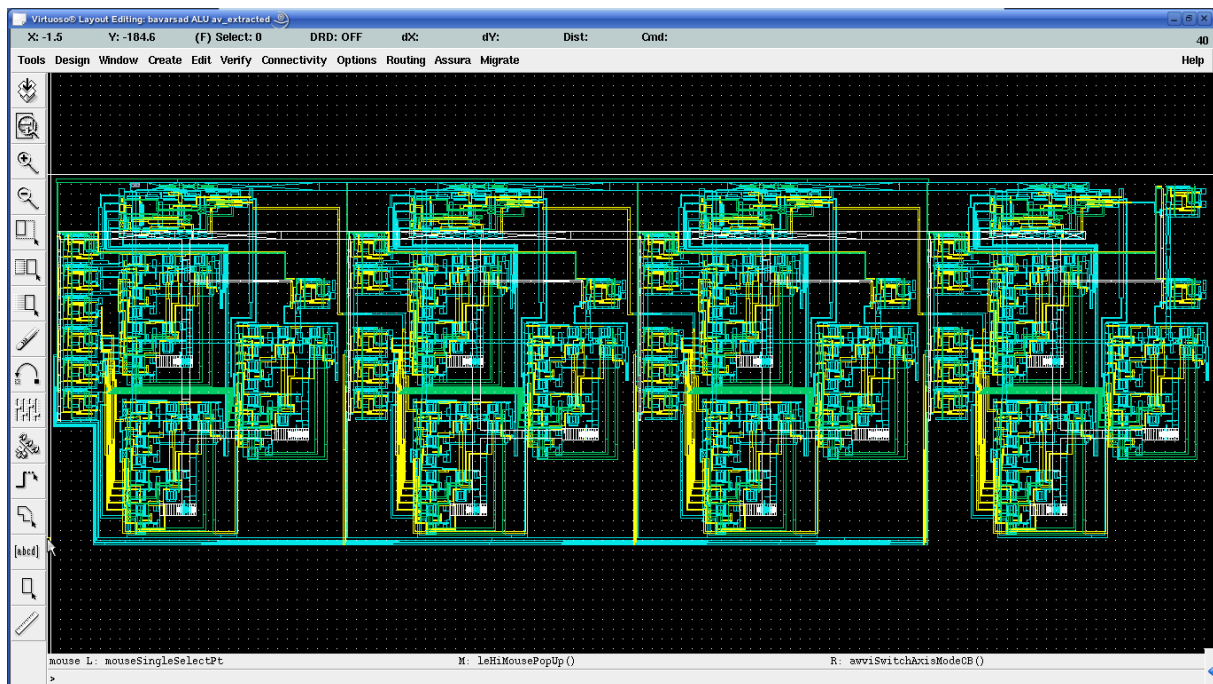
شکل (۲۶) شبیه سازی فلیپ فلاپ



شکل (۲۷) شبیه سازی Adder

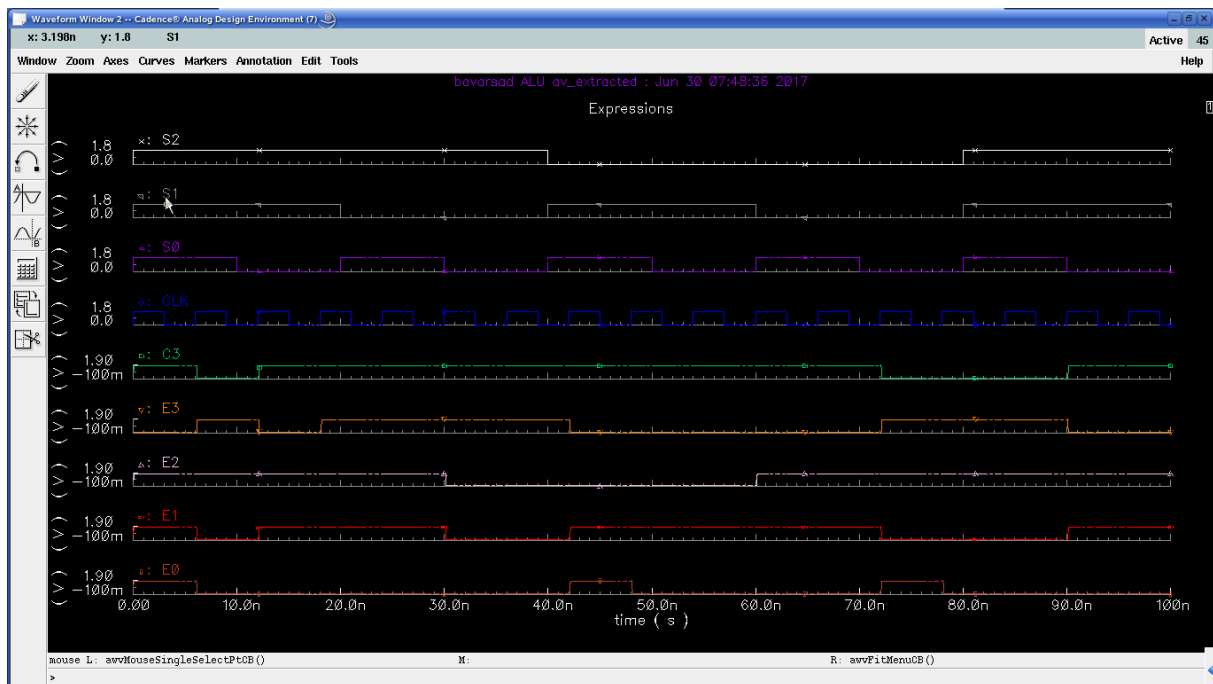
Post Layout

پس از انجام آنالیز LVS و اطمینان از match بودن layout رسم شده با شماتیک، می توانیم عمل extraction به همراه المان های پارازیتی و به دنبال آن post layout simulation را انجام دهیم. از منوی Assura گزینه RunRCX را انتخاب می کنیم و در پنجره ی باز شده گزینه ی Output را روی Extracted View قرار می دهیم. مقابل گزینه View نام دلخواهی را وارد می کنیم. سپس در بخش بالایی پنجره، تب Extraction را انتخاب می کنیم و گزینه ی Extraction Mode را روی RC ست می کنیم. به این ترتیب عمل extraction متفاوتی - خازنی انجام می گیرد. در بخش Ref Node گره GND را به عنوان گره مرجع وارد می کنیم و در نهایت روی OK کلیک می کنیم. پس از انجام عمل Extraction یک View با همان نامی که انتخاب کرده بودیم در آن سلول ایجاد می شود. نتیجه در شکل زیر آمده است.

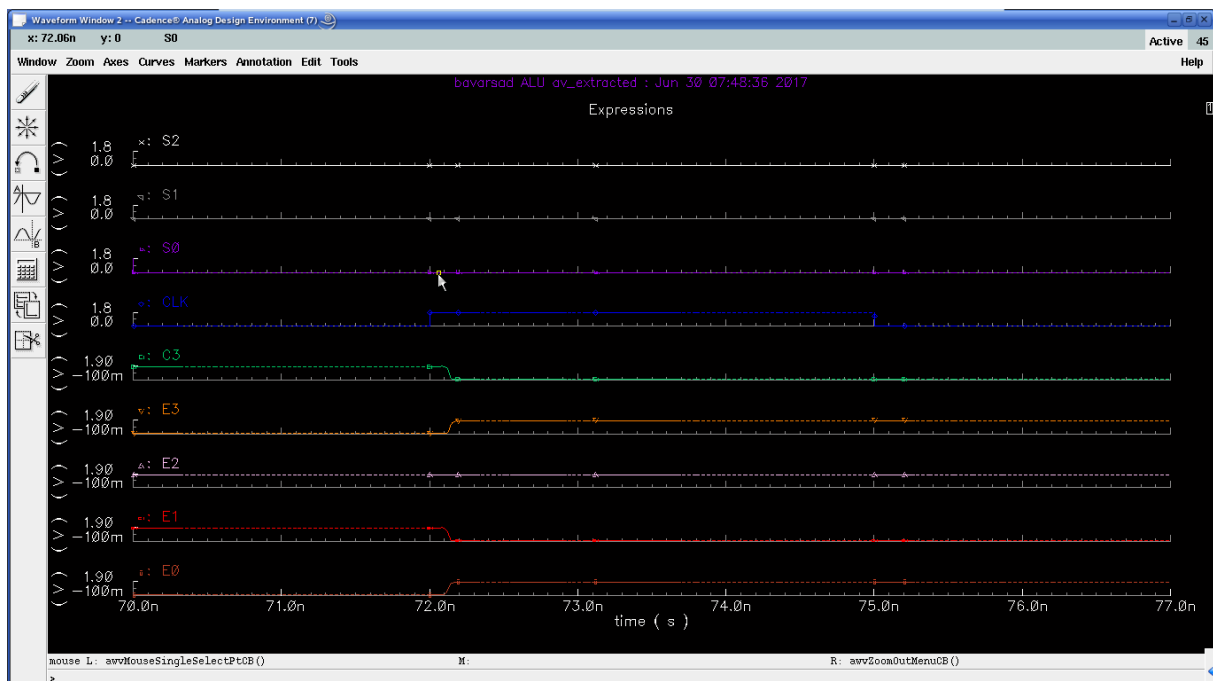


شکل (۲۸) Post Layout

سپس PostLayout شبیه سازی شد و مشاهده شد که زمان صعود و نزول سیگنال ها کمی افزایش یافته است. نتیجه در شکل زیر آورده شده است.



شکل (۲۹) شبیه سازی Post Layout



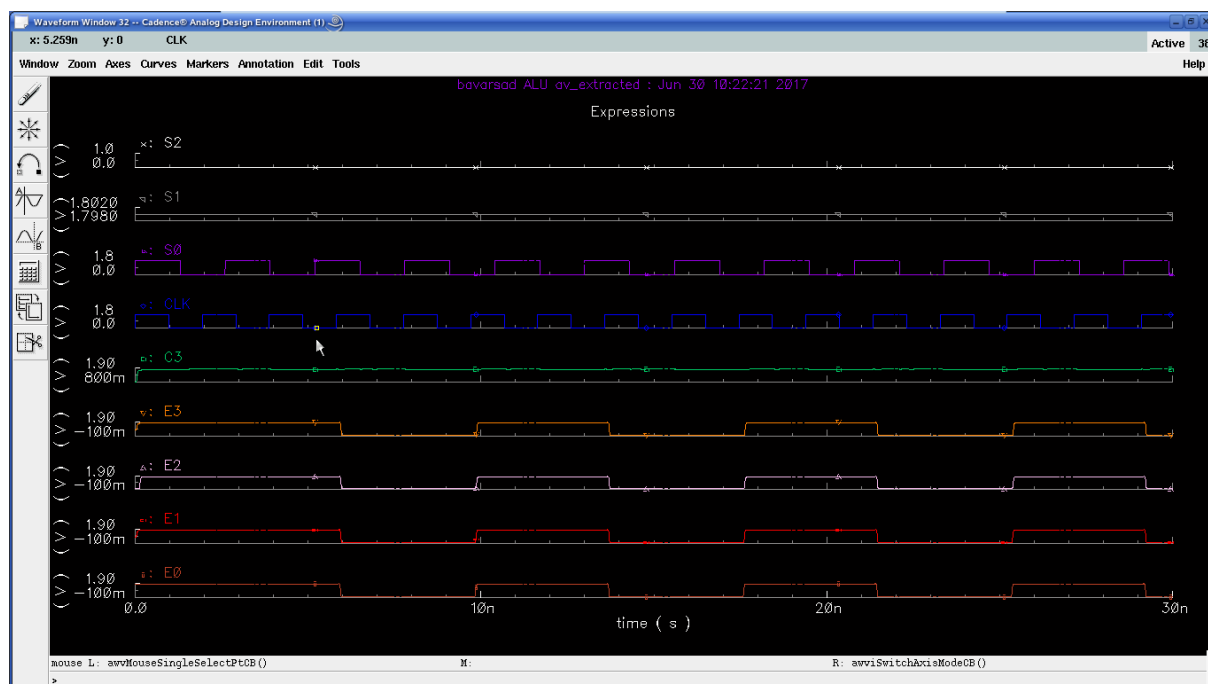
شکل (۳۰) نتایج شبیه سازی شده Post Layout در حالت بزرگ نمایی شده برای مشاهدهی بهتر زمان

صعود و نزول

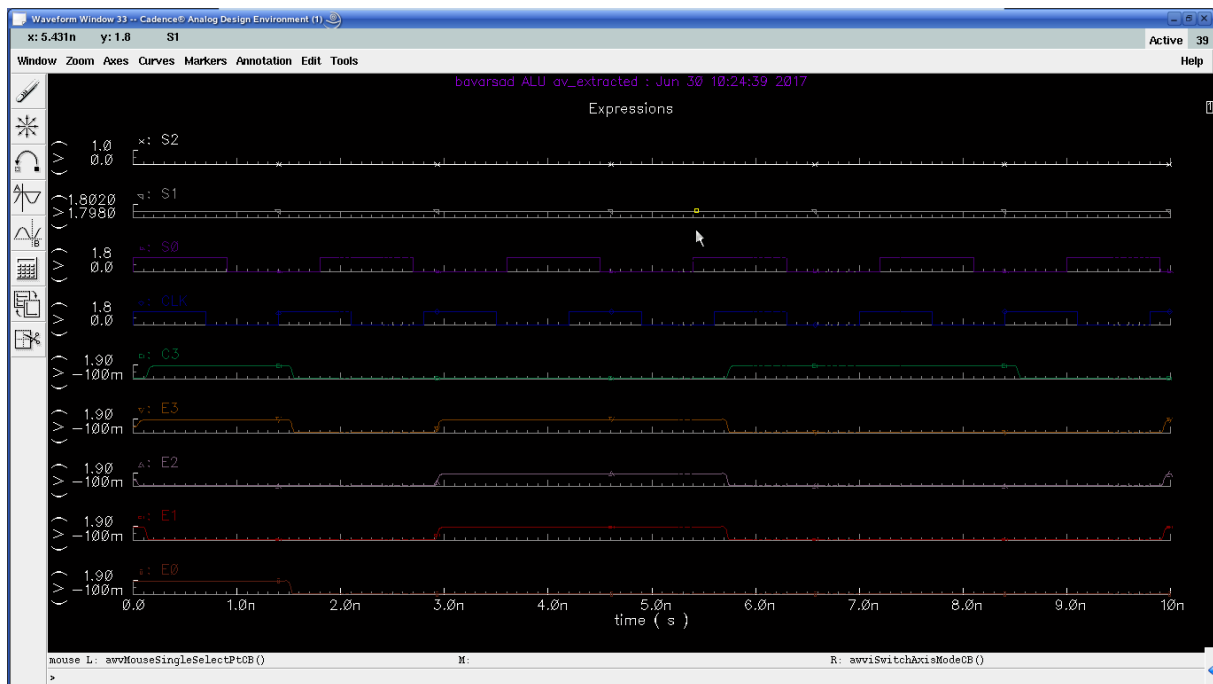
حداکثر فرکانس

بیشترین تاخیر مدار در حالتی است که دستورات جمع و تفریق را انجام می‌دهد. بنابراین ما برای به دست آوردن حداکثر فرکانس کاری، مدار را در بدترین حالت امتحان کردیم. برای اطمینان مدار را در شرایط بهتری نیز آزمایش کردیم که در حالت دوم فرکانس بالاتری به دست آمد. در هر حالت دو عدد ثابت به A و B اختصاص داده شد و فرکانس CLK تغییر داده شد همچنین به صورت متوالی کد دستور را بین دستورات A+B و A-B تغییر دادیم. مشاهده شد که هنگامی که دوره تناوب CLK از حدود $1/94\text{ns}$ بیشتر می‌شود مدار به درستی کار نمی‌کند. با این حساب حداکثر فرکانس کاری مدار حدود 515MHz به دست می‌آید.

| حالت | ورودی‌ها | | | مقادیر مورد انتظار | | دوره تناوب و فرکانس | |
|------|----------|------|----|--------------------|-------|---------------------|------------------|
| | A | B | Cl | A+B | A-B | حداقل دوره تناوب | حداکثر فرکانس |
| ۱ | 1111 | 1111 | 1 | 11111 | 10000 | $1/94\text{ ns}$ | 515MHz |
| ۲ | 0111 | 0111 | 0 | 01110 | 10000 | $1/4\text{ ns}$ | 720 MHz |



شکل (۳۱) شبیه سازی مدار در فرکانس 515 MHz (حالت اول)



شکل (۳۲) شبیه سازی مدار در فرکانس ۷۲۰ MHz (حالت دوم)